

**QED self energies from lattice QCD  
without power-law finite-volume errors**

**Xu Feng and Luchang Jin, Phys. Rev. D 100, 094509 (2019)**

**Lattice QCD Calculation of the Pion Mass Splitting**

**Xu Feng, Luchang Jin, and Michael Joseph Riberdy, Phys. Rev. Lett. 128, 052003 (2022)**

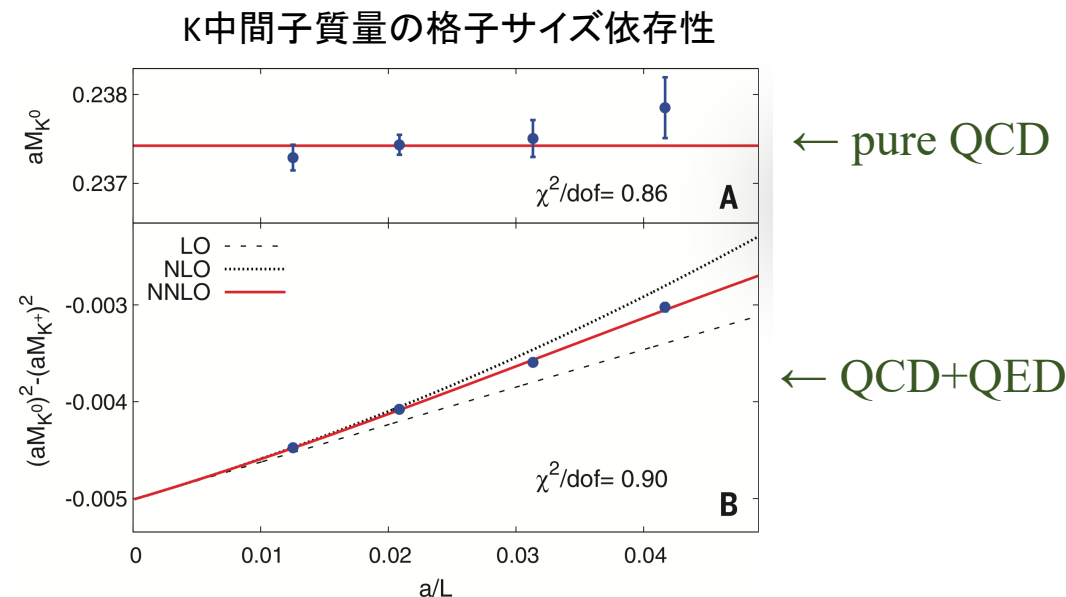
# Introduction

- QED効果を入れた格子QCD計算 (QCD+QED lattice simulation)
- **有限体積効果**がネック .....有限の格子サイズに付随する系統不確かさ(数%~10%程度)

クォーク質量(MeV)と系統不確かさ(%)

	value (stat. error)	fit	fv	lat. spacing	QED quenching	$m_s$ quenching	renorm
$m_u$	2.24(10)	+4.02	+13.50	4	2	-	2.8
$m_d$	4.65(15)	+3.55	-2.48	4	2	-	2.8
$m_s$	97.6(2.9)	+0.23	+0.07	4	2	2	2.8
$m_d - m_u$	2.411(65)	+7.77	-17.35	4	2	-	2.8
$m_{ud}$	3.44(12)	+2.75	+2.71	4	2	-	2.8
$m_u/m_d$	0.4818(96)	+5.45	+16.40	4	-	-	-
$m_s/m_{ud}$	28.31(29)	+2.91	-2.56	4	2	2	-

Electromagnetic mass splittings of the low lying hadrons and quark masses from 2+1 flavor lattice QCD+QED  
T. Blum *et al*, Phys, Rev, **D82**, 094508 (2010)



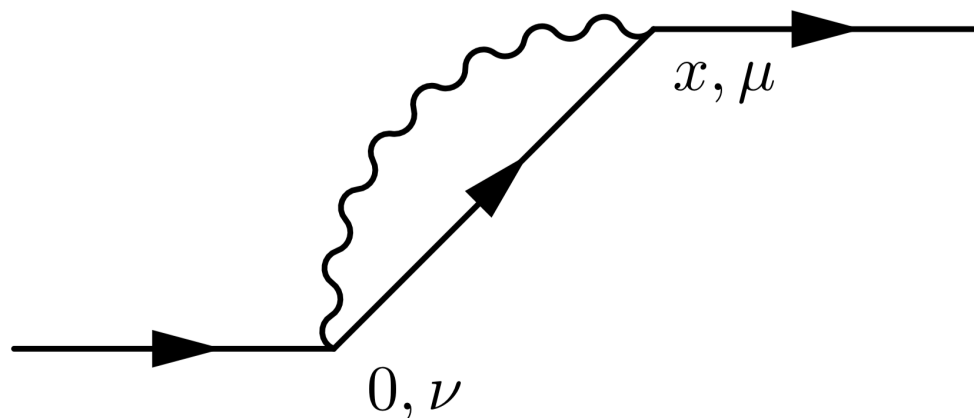
Ab initio calculation of the neutron- proton mass difference  
S. Borsanyi *et al*, Science 347, 1452 (2015)

- 有限体積効果を抑えながら,  $\pi$ 中間子質量差を計算

→ **IVR** (Infinite-Volume Reconstruction) method

# “QED self energies from lattice QCD without power-law finite-volume errors”

Xu Feng and Luchang Jin, Phys. Rev. D 100, 094509 (2019)



- ハドロン2点関数の極から質量シフトを求める
- 静止ハドロン状態 $N$ について、  
左図の自己エネルギーを考える
- 通常の(摂動的)な場の理論の範疇

この時、ハドロンの(QED効果による)質量シフトは上図を通して

$$\Delta M = \mathcal{I} = \frac{1}{2} \int d^4x \mathcal{H}_{\mu,\nu}(x) S_{\mu,\nu}^{\gamma}(x) \quad \text{と書ける.}$$

$$\mathcal{H}_{\mu,\nu}(x) = \frac{1}{2M} \langle N(\vec{0}) | T[J_{\mu}(x) J_{\nu}(0)] | N(\vec{0}) \rangle$$

$$J_{\mu} = \frac{2e}{3} \bar{u} \gamma_{\mu} u - \frac{e}{3} \bar{d} \gamma_{\mu} d - \frac{e}{3} \bar{s} \gamma_{\mu} s : \text{電磁カレント}$$

$M$  : (補正前の) ハドロン質量

$|N(\vec{p})\rangle$  : 1 粒子ハドロン状態

$S_{\mu,\nu}^{\gamma}$  : 光子伝播関数

質量シフト:  $\Delta M = \mathcal{I} = \frac{1}{2} \int d^4x \mathcal{H}_{\mu,\nu}(x) S_{\mu,\nu}^\gamma(x)$

ナイーブには.....

$$\int_{-\infty}^{\infty} d^4x \mathcal{H}_{\mu\nu}(x) S_{\mu\nu}^\gamma(x) \rightarrow \int_{-L/2}^{L/2} d^4x \mathcal{H}_{\mu\nu}^L(x) S_{\mu\nu}^\gamma(x) \quad \text{この時,有限体積効果は?}$$

ハドロン行列の遠方での振る舞い

$$\begin{aligned} \mathcal{H}_{\mu,\nu}(t, \vec{x}) &\sim \exp \left[ -M \left( \sqrt{t^2 + \vec{x}^2} - t \right) \right] \\ &\sim e^{-M \frac{\vec{x}^2}{2t}} \quad \text{for } |\vec{x}| \ll t \end{aligned} \quad \text{tが大きい所が問題}$$

→ 有限体積効果が抑えられない

# IVR Method

$$\text{質量シフト: } \Delta M = \mathcal{I} = \frac{1}{2} \int d^4x \mathcal{H}_{\mu,\nu}(x) S_{\mu,\nu}^\gamma(x)$$

$$\mathcal{I} = \mathcal{I}^{(s)} + \mathcal{I}^{(l)}$$

$$\begin{aligned} \mathcal{I}^{(s)} &= \frac{1}{2} \int_{-t_s}^{t_s} dt \int d^3\vec{x} \mathcal{H}_{\mu,\nu}(x) S_{\mu,\nu}^\gamma(x) & \mathcal{I}^{(s,L)} &= \frac{1}{2} \int_{-t_s}^{t_s} dt \int_{-\frac{L}{2}}^{\frac{L}{2}} d^3\vec{x} \mathcal{H}_{\mu,\nu}^L(\vec{x}) S_{\mu,\nu}^\gamma(\vec{x}) \\ \mathcal{I}^{(l)} &= \int_{t_s}^{\infty} dt \int d^3\vec{x} \mathcal{H}_{\mu,\nu}(x) S_{\mu,\nu}^\gamma(x) & \mathcal{I}^{(l,L)} &= \int_{-\frac{L}{2}}^{\frac{L}{2}} d^3x \mathcal{H}_{\mu,\nu}^L(t_s, \vec{x}) L_{\mu,\nu}(t_s, \vec{x}) \end{aligned}$$

$$\mathcal{H}_{\mu,\nu}^L(t, \vec{x}) = L^3 \frac{\langle N(t + \Delta T) J_\mu(t, \vec{x}) J_\nu(0) \bar{N}(-\Delta T) \rangle_L}{\langle N(t + \Delta T) \bar{N}(-\Delta T) \rangle_L}$$

$N(t)$  : Interpolating operator  
annihilating the hadron state  $N(0)$  at  $t$   
 $\Delta T$  : separation between source/current operators

$L_{\mu,\nu}$  : QED weighting function (後述)

$$\mathcal{I} = \mathcal{I}^{(s)} + \mathcal{I}^{(l)}$$

$$\mathcal{I}^{(s)} = \frac{1}{2} \int_{-t_s}^{t_s} dt \int d^3 \vec{x} \mathcal{H}_{\mu,\nu}(x) S_{\mu,\nu}^\gamma(x) \Leftrightarrow \mathcal{I}^{(s,L)} = \frac{1}{2} \int_{-t_s}^{t_s} dt \int_{-\frac{L}{2}}^{\frac{L}{2}} d^3 \vec{x} \mathcal{H}_{\mu,\nu}^L(x) S_{\mu,\nu}^\gamma(x)$$

仮に  $\mathcal{H}_{\mu\nu} = \mathcal{H}_{\mu\nu}^L$  とすれば

$\mathcal{I}^{(s)} - \mathcal{I}^{(s,L)}$  はLで**指数関数的**に抑えられる。

実際, 1粒子の場合  $\mathcal{H}_{\mu\nu} - \mathcal{H}_{\mu\nu}^L$

自体も格子サイズのexpで抑えられていることが知られている。

$$\mathcal{I} = \mathcal{I}^{(s)} + \mathcal{I}^{(l)}$$

$$\mathcal{I}^{(l)} = \int_{t_s}^{\infty} dt \int d^3 \vec{x} \mathcal{H}_{\mu,\nu}(x) S_{\mu,\nu}^{\gamma}(x) \Leftrightarrow \mathcal{I}^{(l,L)} = \int_{-\frac{L}{2}}^{\frac{L}{2}} d^3 x \mathcal{H}_{\mu,\nu}^L(t_s, \vec{x}) L_{\mu,\nu}(t_s, \vec{x})$$

- ハドロン行列要素の**時間依存性**を取り出す

$$\mathcal{H}_{\mu,\nu}(x) = \frac{1}{2M} \langle N(\vec{0}) | T[J_{\mu}(x) J_{\nu}(0)] | N(\vec{0}) \rangle$$

- 完全系を入れる.

- tが大きいと仮定し, **励起状態**から来る項を落とす.

$$\mathcal{H}_{\mu,\nu}(t, \vec{x}) \approx \int \frac{d^3 p}{(2\pi)^3} \frac{1}{2E_{\vec{p}}} e^{i\vec{p}\cdot\vec{x}} e^{-(E_{\vec{p}}-M)t} \cdot \frac{1}{2M} \langle N(\vec{0}) | J_{\mu}(0) | N(\vec{p}) \rangle \langle N(\vec{p}) | J_{\nu}(0) | N(\vec{0}) \rangle$$

$$E_{\vec{p}} = \sqrt{M^2 + \vec{p}^2}$$

$$\mathcal{I} = \mathcal{I}^{(s)} + \mathcal{I}^{(l)}$$

$$\mathcal{I}^{(s)} = \frac{1}{2} \int_{-t_s}^{t_s} dt \int d^3 \vec{x} \mathcal{H}_{\mu,\nu}(x) S_{\mu,\nu}^\gamma(x)$$

$$\mathcal{I}^{(l)} = \int_{t_s}^{\infty} dt \int d^3 \vec{x} \mathcal{H}_{\mu,\nu}(x) S_{\mu,\nu}^\gamma(x)$$

- 時刻を  $t = t_s$  に固定し、Fourier変換

$$\mathcal{H}_{\mu,\nu}(t, \vec{x}) \approx \int \frac{d^3 p}{(2\pi)^3} \frac{1}{2E_{\vec{p}}} e^{i\vec{p}\cdot\vec{x}} e^{-(E_{\vec{p}}-M)t} \cdot \frac{1}{2M} \langle N(\vec{0}) | J_\mu(0) | N(\vec{p}) \rangle \langle N(\vec{p}) | J_\nu(0) | N(\vec{0}) \rangle$$

↓  $t = t_s$ , Fourier transformation

$$\int d^3 \vec{x} \mathcal{H}_{\mu,\nu}(t_s, \vec{x}) e^{-i\vec{p}\cdot\vec{x}} = \frac{1}{2E_{\vec{p}}} e^{-(E_{\vec{p}}-M)t_s} \cdot \frac{1}{2M} \langle N(\vec{0}) | J_\mu(0) | N(\vec{p}) \rangle \langle N(\vec{p}) | J_\nu(0) | N(\vec{0}) \rangle$$

- 上2式を用いてハドロン行列を”再構成”

$$\mathcal{H}_{\mu,\nu}(t, \vec{x}) \approx \int d^3 \vec{y} \mathcal{H}_{\mu,\nu}(t_s, \vec{y}) \int \frac{d^3 \vec{p}}{(2\pi)^3} e^{i\vec{p}\cdot\vec{x}} e^{-(E_{\vec{p}}-M)(t-t_s)} e^{-i\vec{p}\cdot\vec{y}}$$

$t_s$ を基準時として、任意の時刻のHが記述できた。



ハドロン行列のt依存性:  $\mathcal{H}_{\mu,\nu}(t, \vec{x}) \approx \int d^3\vec{y} \mathcal{H}_{\mu,\nu}(t_s, \vec{y}) \int \frac{d^3\vec{p}}{(2\pi)^3} e^{i\vec{p}\cdot\vec{x}} e^{-(E_{\vec{p}}-M)(t-t_s)} e^{-i\vec{p}\cdot\vec{y}}$

(for large |t|, t<sub>s</sub>)

t積分を1つの関数に押し付ける

$$\begin{aligned} \mathcal{I}^{(l)} &= \int_{t_s}^{\infty} dt \int d^3\vec{x} \mathcal{H}_{\mu,\nu}(t, \vec{x}) S_{\mu,\nu}^{\gamma}(t, \vec{x}) \\ &\approx \int d^3\vec{x} \mathcal{H}_{\mu,\nu}(t_s, \vec{x}) L_{\mu,\nu}(t_s, \vec{x}) \\ &\approx \int_{-\frac{L}{2}}^{\frac{L}{2}} d^3\vec{x} \mathcal{H}_{\mu,\nu}^L(t_s, \vec{x}) L_{\mu,\nu}(t_s, \vec{x}) \quad \text{.....格子外の寄与はLのexpで落ちる.} \\ &= \mathcal{I}^{(l,L)} \end{aligned}$$

すると, 重み付け関数は

$$L_{\mu,\nu}(t_s, \vec{x}) = \int \frac{d^3p}{(2\pi)^3} e^{i\vec{p}\cdot\vec{x}} \int_{t_s}^{\infty} dt e^{-(E_{\vec{p}}-M)(t-t_s)} \int d^3\vec{x} e^{-i\vec{p}\cdot\vec{x}} S_{\mu,\nu}^{\gamma}(t, \vec{x}) \quad \text{と書ける.}$$

# IVR Method まとめ

$$\text{質量シフト: } \Delta M = \mathcal{I} = \frac{1}{2} \int d^4x \mathcal{H}_{\mu,\nu}(x) S_{\mu,\nu}^\gamma(x)$$

$$\mathcal{I} = \mathcal{I}^{(s)} + \mathcal{I}^{(l)}$$

$$\begin{aligned} \mathcal{I}^{(s)} &= \frac{1}{2} \int_{-t_s}^{t_s} dt \int d^3\vec{x} \mathcal{H}_{\mu,\nu}(x) S_{\mu,\nu}^\gamma(x) & \mathcal{I}^{(s,L)} &= \frac{1}{2} \int_{-t_s}^{t_s} dt \int_{-\frac{L}{2}}^{\frac{L}{2}} d^3\vec{x} \mathcal{H}_{\mu,\nu}^L(\vec{x}) S_{\mu,\nu}^\gamma(\vec{x}) \\ \mathcal{I}^{(l)} &= \int_{t_s}^{\infty} dt \int d^3\vec{x} \mathcal{H}_{\mu,\nu}(x) S_{\mu,\nu}^\gamma(x) & \mathcal{I}^{(l,L)} &= \int_{-\frac{L}{2}}^{\frac{L}{2}} d^3x \mathcal{H}_{\mu,\nu}^L(t_s, \vec{x}) L_{\mu,\nu}(t_s, \vec{x}) \end{aligned}$$

$$\mathcal{H}_{\mu,\nu}^L(t, \vec{x}) = L^3 \frac{\langle N(t + \Delta T) J_\mu(t, \vec{x}) J_\nu(0) \bar{N}(-\Delta T) \rangle_L}{\langle N(t + \Delta T) \bar{N}(-\Delta T) \rangle_L}$$

$$L_{\mu,\nu}(t_s, \vec{x}) = \int \frac{d^3p}{(2\pi)^3} e^{i\vec{p}\cdot\vec{x}} \int_{t_s}^{\infty} dt e^{-(E_{\vec{p}} - M)(t - t_s)} \int d^3y e^{-i\vec{p}\cdot\vec{y}} S_{\mu,\nu}^\gamma(t, \vec{y})$$

結局,  $\mathcal{I}^{(s,L)}$  と  $\mathcal{I}^{(l,L)}$  を数値計算することで  $\Delta M$  が求まる.

# “Lattice QCD Calculation of the Pion Mass Splitting”

Xu Feng, Luchang Jin, and Michael Riberdy, Phys. Rev. Lett. 128, 052003 (2022)

- パイ中間子質量差の格子QCD計算.

$$\Delta m_{\pi} = m_{\pi^{+}} - m_{\pi^{0}}$$

(現実では  $\Delta m_{\pi} = 4.5936 (5) \text{ MeV}$ )

- 初めてIVR methodを格子QCD計算に適用した.

# 計算の条件

- RBC/UKQCD Collaborationで生成された6つのアンサンブル上で計算  
(異なる格子体積, 格子間隔で計算)
- $t_s$ の値を変えながら計算を行う ( $t_s$ が充分大きければプラトーが見られる)
- Feynman/Coulombゲージ双方でそれぞれ計算

アンサンブルの詳細

	Volume	$a^{-1}$ (GeV)	$L$ (fm)	$M_\pi$ (MeV)	$t_{\text{sep}}$ (a)
48I	$48^3 \times 96$	1.730(4)	5.5	135	12
64I	$64^3 \times 128$	2.359(7)	5.4	135	18
24D	$24^3 \times 64$	1.0158(40)	4.7	142	8
32D	$32^3 \times 64$	1.0158(40)	6.2	142	8
32Dfine	$32^3 \times 64$	1.378(7)	4.6	144	10
24DH	$24^3 \times 64$	1.0158(40)	4.7	341	8

Feynman Gauge :  $S_{\mu\nu}^\gamma(x) = \frac{\delta_{\mu\nu}}{4\pi^2 x^2}$

Coulomb Condition:

$$S_{\mu,\nu}^\gamma(t, \vec{x}) = \begin{cases} \frac{1}{4\pi|\vec{x}|} \delta(t) & (\mu = \nu = 0) \\ \int \frac{d^3\vec{p}}{(2\pi)^3} \left( \delta_{i,j} - \frac{p_i p_j}{\vec{p}^2} \right) e^{-|\vec{p}|t + i\vec{p}\cdot\vec{x}} & (\mu = i, \nu = j) \\ 0 & (\text{otherwise}) \end{cases}$$

# 結果

	Feyn (MeV)	Coul (MeV)
48I	4.283(21)	4.375(25)
64I	4.415(14)	4.459(15)
24D	3.632(10)	3.823(12)
32D	3.598(12)	3.825(13)
32Dfine	4.002(18)	4.109(21)
24DH	2.406(37)	2.509(12)





## 24D—32D間の percentage difference

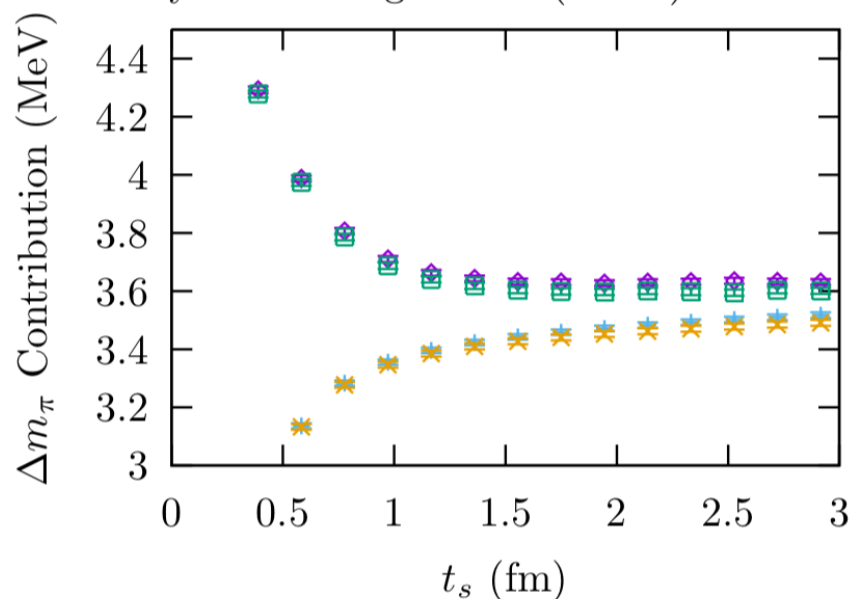
Feynman Gauge : 0.94(61) %

Coulomb Gauge : 0.05(65) % (不確かさの範囲内)

有限体積効果は抑えられている

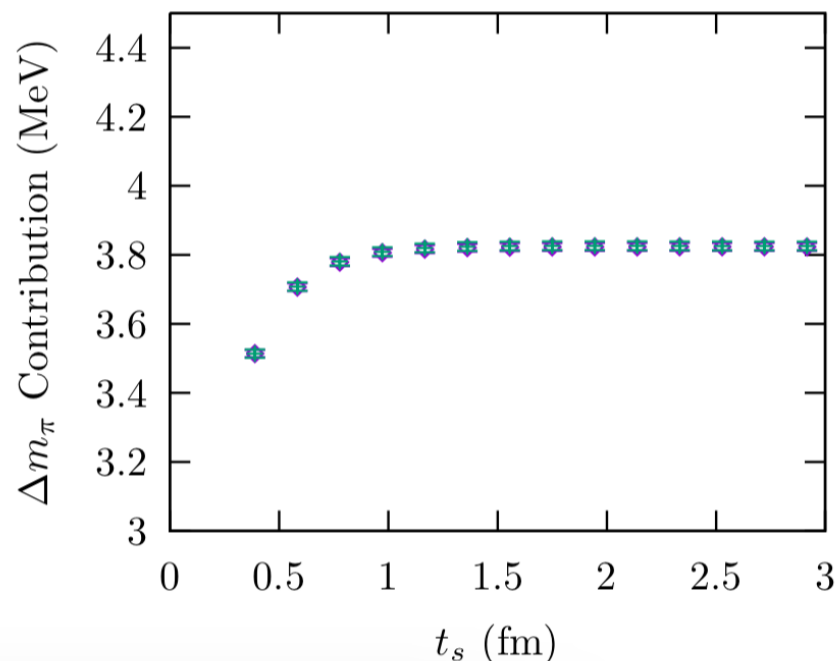
### Feynman Gauge

24D Feynman Gauge Total ( $\mathcal{I}^{(s,L)} + \mathcal{I}^{(l,L)}$ )   
24D Feynman Gauge Short ( $\mathcal{I}^{(s,L)}$ )   
32D Feynman Gauge Total ( $\mathcal{I}^{(s,L)} + \mathcal{I}^{(l,L)}$ )   
32D Feynman Gauge Short ( $\mathcal{I}^{(s,L)}$ ) 



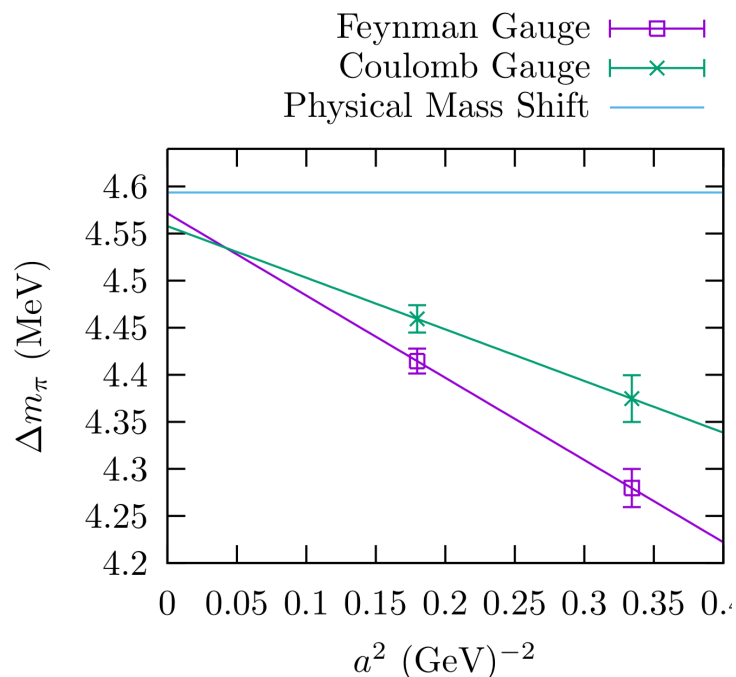
### Coulomb Condition

24D Coulomb Gauge ( $\mathcal{I}^{(s,L)}$ )   
32D Coulomb Gauge ( $\mathcal{I}^{(s,L)}$ ) 



# physical pointへの外挿

連続外挿(IWSAKI 48I/64I)



アンサンブルの詳細

	Volume	$a^{-1}$ (GeV)	$L$ (fm)	$M_\pi$ (MeV)	$t_{\text{sep}}$ (a)
48I	$48^3 \times 96$	1.730(4)	5.5	135	12
64I	$64^3 \times 128$	2.359(7)	5.4	135	18
24D	$24^3 \times 64$	1.0158(40)	4.7	142	8
32D	$32^3 \times 64$	1.0158(40)	6.2	142	8
32Dfine	$32^3 \times 64$	1.378(7)	4.6	144	10
24DH	$24^3 \times 64$	1.0158(40)	4.7	341	8

## 連続極限を取った後に”有限体積補正”

補正後の値(IWASAKI 48I/64I)		補正後の値(24D,32Dfine,24DH)	
	Total (MeV)		Total (MeV)
Feyn	4.534(42)(43)	Feyn	4.706(50)(106)
Coul	4.560(46)(41)	Coul	4.753(58)(160)

凡例 : Mass Shift (statistic error)(systematic error) MeV

“24D—32間の差を用いて有限体積補正を見積もった”  
 とのことだが, 具体的な操作は明記されていない.

# まとめ

- IVR methodを用いた初めての格子QCD計算
- 格子間隔/体積を変えながら $\pi$ 中間子質量差を計算
- 比較的**有限体積効果**を抑えられている(‰単位)
- Feynman/Coulombゲージ条件で一貫性のある結果

$$\Delta m_{\pi} = 4.534 (42)(43) \text{ MeV (for Feynman gauge)}$$

$$\Delta m_{\pi} = 4.560 (46)(41) \text{ MeV (for Coulomb gauge)}$$